

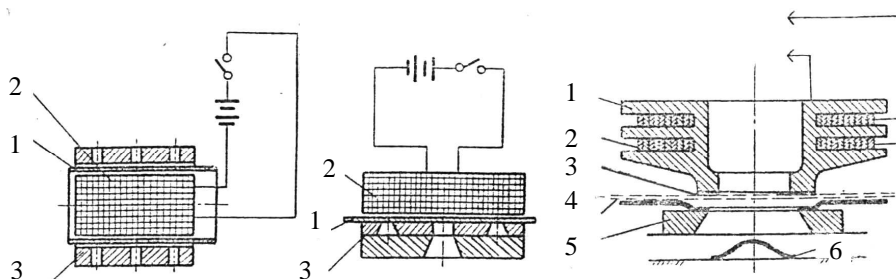
В.А. АНАНЯН

## НАПРЯЖЕННО-ДЕФОРМИРОВАННОЕ СОСТОЯНИЕ В ЛОКАЛИЗОВАННОМ ОЧАГЕ ДЕФОРМАЦИИ ПРИ МАГНИТНО- ИМПУЛЬСНОЙ ВЫРУБКЕ ТОНКОЛИСТОВОЙ ЗАГОТОВКИ

На основе теории пластического течения выведены уравнения и расчетные формулы напряженно-деформированного состояния в очаге деформации на кромке вырезаемой высечки при магнитно-импульсной вырубке и пробивке метанием тонколистовой заготовки по матрице.

**Ключевые слова:** магнитно-импульсный, вырубка, пробивка, тонколистовая заготовка.

При вырубке-пробивке импульсным магнитным полем (ИМП) электропроводная металлическая заготовка 1 (рис.1) помещается в сильное ИМП, создаваемое на катушку индуктивности 2 разрядом электроэнергии, накопленной в конденсаторной батарее. Деформирование осуществляется давлением ИМП по



матрице 3.

Практически при больших энергиях разряда для повышения индуктивности индуктора и во избежание разрыва обмотки последняя заканчивается массивным витком-концентратором (рис.2). Обычно эффективно деформирование тонколистовых ( $s=0,1 \dots 1$  мм) электропроводных заготовок.

При исходном расположении тонколистовой заготовки с зазором ( $\approx 5$  мм) к матрице (рис.2) происходит выстреливание давлением поля участка заготовки по матрице, при этом деформирование осуществляется за счет кинетической энергии соударения (скорость соударения достигает 600 м/с и более) и давления ИМП.

Рис.1хСхема пробивки и вырубки ИМП: 1 – заготовка; 2 – индуктор; 3 – матрица  
Рис.2хСхема пробивки и вырубки с помощью концентратора ИМП: 1 – концентратор; 2 – обмотка; 3 – изоляция; 4 – заготовка; 5 – матрица; 6 – высечка

Целью настоящей статьи является выявление характерных особенностей напряженно-деформированного состояния на контуре раздела получаемых деталей, а также определение работы деформирования при вырубке-пробивке метанием тонколистовой заготовки по плоской матрице. Результаты исследований позволяют судить о приемлемости состояния деформированного металла в условиях эксплуатации, а также выявить возможность использования их для расчета энергосиловых параметров технологического процесса.

Рассмотрим очаг деформации на высечке (рис.3). Скорость перемещения частиц в очаге деформации представим в виде произведения двух функций, каждая из которых зависит только от одного аргумента

$$v_z = -v_{од} f(x) \varphi(z), \quad (1)$$

где  $v_{од}$  – скорость внедрения острой кромки матрицы в заготовку;  $\varphi(z)$  – функция, выражающая закон изменения скорости перемещения частиц по оси  $z$ ;  $f(x)$  – функция, определяющая промежуточную форму очага деформации.

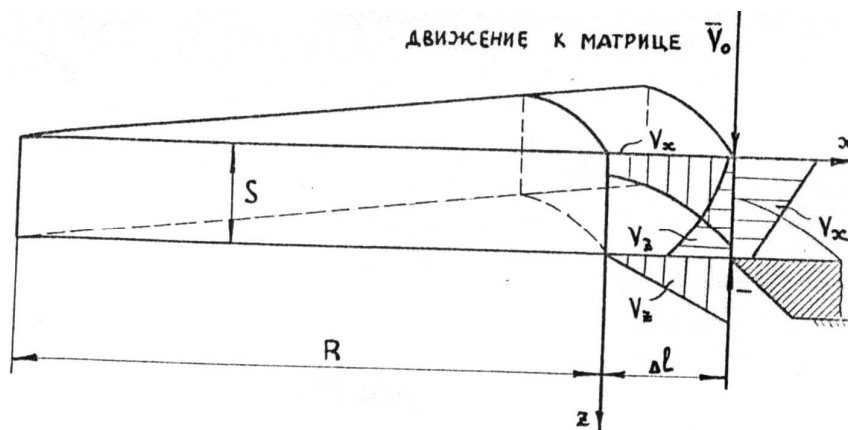


Рис.3. Распределение поля скоростей в очаге деформации

На основании экспериментальных исследований [1] характера течения частиц металла в очаге деформации  $f(x)$  и  $\varphi(z)$  запишем в виде

$$f(x) = x / \Delta l, \quad (2)$$

$$\varphi(z) = \varphi_1 + (1 - \varphi_1)(2sz - z^2) / s^2. \quad (3)$$

Здесь  $x, z$  – координаты частиц;  $\Delta l$  – ширина очага деформации;  $s$  – толщина заготовки;  $\varphi_1$  – некоторый малый параметр.

Введение параметра  $\varphi_1$  обусловлено тонкостью заготовки, а следовательно, близостью точек в очаге деформации. С увеличением скорости деформирования разность скоростей перемещения частиц, очевидно, уменьшается и  $\varphi_1$  увеличивается.

Уравнение (1) с учетом (2) и (3) примет вид

$$v_z = -v_{oA} \left[ \varphi_1 + (1 - \varphi_1)(2sz - z^2) / s^2 \right] x / \Delta l. \quad (4)$$

Для решения задачи определения напряженно-деформированного состояния материала воспользуемся известными уравнениями пластического деформирования металлов, развитых в работах [2-4].

Запишем уравнение неразрывности плоской задачи:

$$\partial v_x / \partial x + \partial v_z / \partial z = 0. \quad (5)$$

После интегрирования (5), с учетом производной выражения (4), получим

$$v_x = v_{oA} (1 - \varphi_1)(s - z)x^2 / (s^2 \Delta l) + C_1. \quad (6)$$

Постоянную интегрирования находим из условия: при  $x = 0$   $v_x = \varphi_2 v_{oA}$ , тогда из (6)  $C_1 = \varphi_2 v_{oA}$ . Здесь  $\varphi_2$  - некоторый параметр, зависящий от материала заготовки, ее толщины и конкретных условий процесса.

С учетом  $C_1$  равенство (6) примет вид

$$v_x = v_{oA} \left[ \varphi_2 + (1 - \varphi_1)(s - z)x^2 / (s^2 \Delta l) \right]. \quad (7)$$

Значение  $\varphi_2$  находим из (7), принимая для точки ( $x = \Delta l, z = s$ )  $v_x / v_{oA} \leq 1$ , тогда  $\varphi_2 \leq 1$ .

Поле скоростей деформации запишется в виде

$$\begin{aligned} \varepsilon_x &= \frac{\partial v_x}{\partial x} = \frac{2v_{oA}(1 - \varphi_1)(s - z)x}{s^2 \Delta l}, \quad \varepsilon_z = \frac{\partial v_z}{\partial z} = -\frac{2v_{oA}(1 - \varphi_1)(s - z)x}{s^2 \Delta l}, \\ \varepsilon_{xz} &= \frac{\partial v_x}{\partial z} + \frac{\partial v_z}{\partial x} = \frac{-v_{oA}(1 - \varphi_1)}{s^2 \Delta l} \left( \frac{\varphi_1 s^2}{1 - \varphi_1} + x^2 + 2sz - z^2 \right), \\ \varepsilon_i &= \frac{1}{\sqrt{3}} \sqrt{4\varepsilon_x^2 + \varepsilon_{xz}^2} = \frac{v_{oA}(1 - \varphi_1)}{\sqrt{3}s^2 \Delta l} \Phi, \end{aligned} \quad (8)$$

$\Phi = \sqrt{14x^2(s - z)^2 + x^4 + (s - z)^4 + 2[x^2 - (s - z)^2]s^2 / (1 - \varphi_1) + s^4 / (1 - \varphi_1)^2}$ . Уравнение связи деформаций со скоростями деформаций имеет вид

$$\frac{\partial e_x}{\partial t} + v_x \frac{\partial e_x}{\partial x} + v_z \frac{\partial e_x}{\partial z} = \varepsilon_x, \quad \frac{\partial e_z}{\partial t} + v_x \frac{\partial e_z}{\partial x} + v_z \frac{\partial e_z}{\partial z} = \varepsilon_z. \quad (9)$$

Из-за кратковременности процесса примем  $\partial e / \partial t = 0$ .

Из (9) с учетом (4), (7), (8) и после преобразования получим

$$\begin{aligned} \left[ \frac{\varphi_2 s^2 \Delta l}{(1 - \varphi_1)(s - z)x} + x \right] \frac{\partial e_x}{\partial x} - \left[ \frac{\varphi_1 s^2}{(1 - \varphi_1)(s - z)} + \frac{2sz - z^2}{s - z} \right] \frac{\partial e_x}{\partial z} &= 2, \\ \left[ \frac{\varphi_2 s^2 \Delta l}{(1 - \varphi_1)(s - z)x} + x \right] \frac{\partial e_z}{\partial x} - \left[ \frac{\varphi_1 s^2}{(1 - \varphi_1)(s - z)} + \frac{2sz - z^2}{s - z} \right] \frac{\partial e_z}{\partial z} &= -2. \end{aligned} \quad (10)$$

При плоском деформированном состоянии с точностью до знака  $e_x = e_z$ ,

поэтому можно рассматривать только одно из уравнений (10), интегрирование которого выполняется с помощью характеристической системы

$$\frac{dx}{\left[ x + \frac{\varphi_2 s^2 \Delta l}{x(1-\varphi_1)(s-z)} \right]} = \frac{-dz}{\left[ \frac{(2sz - z^2)}{(s-z)} + \frac{\varphi_1 s^2}{(1-\varphi_1)(s-z)} \right]} = de_x. \quad (11)$$

Каждый интеграл системы (11) является решением уравнения (10). Интегрируя (11), получим

$$e_x = \frac{1}{2} \ln \left[ x^2 + \frac{\varphi_2 s^2 \Delta l}{(1-\varphi_1)(s-z)} \right] + C_1, \quad (12)$$

$$e_z = -\frac{1}{2} \ln \left[ (s-z)^2 - \frac{s^2}{1-\varphi_1} \right] + C_2.$$

Пусть точка в очаге деформации после деформирования имеет координаты  $x, z$ , следовательно, ее координата  $x_1$  до деформации была бы меньше на абсолютную величину перемещения вдоль оси за время деформирования, т.е.

$$x_1 = x - \int_t v_x dt = x - \int_t v_{од} \left[ \frac{(1-\varphi_1)(s-z)x^2}{s^2 \Delta l} + \varphi_2 \right] dt. \quad (13)$$

Интеграл  $\int_t v_{од} dt$  можно выразить через перемещение  $h_c$  точки ( $x = \Delta l, z = s$ ) за время деформирования

$$\int_t v_{од} dt = h_c. \quad (14)$$

Из (12) с учетом (14), используя условия  $x = x_1, e_x = 0$ , найдем  $C_1$ , и после некоторых преобразований одно из уравнений (12) примет вид

$$e_x = -\frac{1}{2} \ln \left\{ \left[ \frac{h_c^2 (1-\varphi_1)(s-z)\varphi_2}{s^2 \Delta l} \right] + \left[ 1 - \frac{h_c (1-\varphi_1)(s-z)x}{s^2 \Delta l} \right]^2 \right\}. \quad (15)$$

Составляющую  $e_{xz}$  с учетом (8) и (14) определим по формуле

$$e_{xz} = \int_t \varepsilon_{xz} dt = -\frac{h_c (1-\varphi_1)}{s^2 \Delta l} \left[ x^2 + 2sz - z^2 + \frac{\varphi_1 s^2}{1-\varphi_1} \right]. \quad (16)$$

Интенсивность деформаций для плоской задачи определим по формуле

$$e_i = \frac{1}{\sqrt{3}} \sqrt{4e_x^2 + e_{xz}^2}. \quad (17)$$

При исследовании напряженного состояния примем  $\sigma_i = \sigma_s = \text{const}$  ( $\sigma_s$  – приведенный предел текучести с учетом упрочнений). Тогда известные зависимости между напряжениями и скоростями деформаций примут вид

$$\begin{aligned}
\sigma_x - \sigma &= \frac{2\sigma_s}{3\varepsilon_i} (\varepsilon_x - \varepsilon), & \tau_{xy} &= \frac{\sigma_s}{3\varepsilon_i} \varepsilon_{xy}; \\
\sigma_y - \sigma &= \frac{2\sigma_s}{3\varepsilon_i} (\varepsilon_y - \varepsilon), & \tau_{yz} &= \frac{\sigma_s}{3\varepsilon_i} \varepsilon_{yz}; \\
\sigma_z - \sigma &= \frac{2\sigma_s}{3\varepsilon_i} (\varepsilon_z - \varepsilon), & \tau_{xz} &= \frac{\sigma_s}{3\varepsilon_i} \varepsilon_{xz},
\end{aligned} \tag{18}$$

в которых коэффициент жесткости:

$$\mu_i = \sigma_s / 3\varepsilon_i = \sigma_s s^2 \Delta l / [\sqrt{3} V_{\text{ОД}} (1 - \varphi_1) \Phi]. \tag{19}$$

Примем несжимаемость материала заготовки  $\varepsilon = 0$ , тогда уравнения (18) для плоской задачи ( $\varepsilon_{xy} = \varepsilon_{yz} = \varepsilon_y = 0$ ) получают вид

$$\begin{aligned}
\sigma_x - \sigma &= 2\mu_i \varepsilon_x, & \sigma_y - \sigma &= 0, & \sigma_z - \sigma &= 2\mu_i \varepsilon_z, \\
\tau_{xy} &= 0, & \tau_{yz} &= 0, & \tau_{xz} &= \mu_i \varepsilon_{xz}.
\end{aligned} \tag{20}$$

Для определения среднего напряжения используем уравнения движения плоской задачи в проекциях на оси координат:

$$\begin{aligned}
\frac{\partial \sigma_x}{\partial x} + \frac{\partial \tau_{xz}}{\partial z} + X\rho &= 0 & \left( \text{или} = \rho \frac{\partial^2 u_x}{\partial t^2} \right), \\
\frac{\partial \tau_{xz}}{\partial x} + \frac{\partial \sigma_z}{\partial z} + Y\rho &= 0 & \left( \text{или} = \rho \frac{\partial^2 u_z}{\partial t^2} \right).
\end{aligned} \tag{21}$$

Из (20) получим

$$\begin{aligned}
\frac{\partial \sigma_x}{\partial x} &= \frac{\partial \sigma}{\partial x} + 2 \frac{\partial (\mu_i \varepsilon_x)}{\partial x}, & \frac{\partial \tau_{xz}}{\partial x} &= \frac{\partial (\mu_i \varepsilon_{xz})}{\partial x}, \\
\frac{\partial \sigma_z}{\partial z} &= \frac{\partial \sigma}{\partial z} + 2 \frac{\partial (\mu_i \varepsilon_z)}{\partial z}, & \frac{\partial \tau_{xz}}{\partial z} &= \frac{\partial (\mu_i \varepsilon_{xz})}{\partial z}.
\end{aligned} \tag{22}$$

В (21) примем объемные силы равными нулю ( $X\rho = Y\rho = 0$ ). После подстановки (22) с учетом (8) получим

$$\begin{aligned}
\frac{\partial \sigma}{\partial x} &= -2\mu_i v_{\text{од}} \frac{(1 - \varphi_1)(s - z)}{s^2 \Delta l} - 4 \frac{\partial \mu_i}{\partial x} v_{\text{од}} \frac{(1 - \varphi_1)(s - z)x}{s^2 \Delta l} + \\
&+ \frac{\partial \mu_i}{\partial z} v_{\text{од}} \frac{1}{s^2 \Delta l} [(1 - \varphi_1)x^2 + \varphi_1 s^2 + (1 - \varphi_1)(2sz - z^2)], \\
\frac{\partial \sigma}{\partial z} &= -2\mu_i v_{\text{од}} \frac{(1 - \varphi_1)x}{s^2 \Delta l} + 4 \frac{\partial \mu_i}{\partial z} v_{\text{од}} \frac{(1 - \varphi_1)(s - z)x}{s^2 \Delta l} + \\
&+ \frac{\partial \mu_i}{\partial x} v_{\text{од}} \frac{(1 - \varphi_1)}{s^2 \Delta l} \left[ x^2 + 2sz - z^2 + \frac{\varphi_1 s^2}{(1 - \varphi_1)} \right].
\end{aligned} \tag{23}$$

Уравнение (23) и его частные производные после подстановки  $\mu_i$  приводят к громоздким выражениям. Для определения среднего напряжения аппроксимируем пространственную диаграмму  $\mu_i$  зависимостью

$$\mu_i = \frac{\sqrt{3}\sigma_s s^2 \Delta l}{3(1-\varphi_1)v_{\text{оА}} \left[ (x+z-s)^2 + s^2/(1-\varphi_1) \right]}. \quad (24)$$

Интенсивность скоростей деформаций с учетом (24) определяется формулой

$$\varepsilon_i = v_{\text{оА}} \frac{(1-\varphi_1)}{\sqrt{3}s^2 \Delta l} \left[ (x+s-z)^2 + \frac{s^2}{(1-\varphi_1)} \right]. \quad (25)$$

Для нахождения  $\sigma$  ее полный дифференциал запишем в виде

$$d\sigma = \frac{\partial \sigma}{\partial x} dx + \frac{\partial \sigma}{\partial z} dz + d\sigma'. \quad (26)$$

Здесь  $\sigma'$  вводится из-за несуществования полного дифференциала среднего напряжения, т.е.

$$\frac{\partial}{\partial x} \left( \frac{\partial \sigma}{\partial z} \right) \neq \frac{\partial}{\partial z} \left( \frac{\partial \sigma}{\partial x} \right). \quad (27)$$

Из (26) с учетом (23) и (24) получим

$$\begin{aligned} \sigma = \int_0^x \frac{\partial \sigma}{\partial x} dx + \int_0^z \frac{\partial \sigma}{\partial z} dz + \sigma' = \frac{\sqrt{3}}{3} \sigma_s \times \\ \times \left[ \ln \frac{(x+s)^2 + \xi}{(s-z)^2 + \xi} + 2 \frac{z^2 - x^2 - 2sz - \varphi_1 \xi}{(x+s-z)^2 + \xi} + \right. \\ \left. + \frac{2sz - z^2 + \varphi_1 \xi}{(s-z)^2 + \xi} + \frac{x^2 - 4sx + \varphi_1 \xi}{(x+s)^2 + \xi} \right] + \sigma', \end{aligned} \quad (28)$$

где  $\xi = s^2/(1-\varphi_1)$ .

Величину  $\sigma'$  определим из граничных условий. Меридиональные напряжения при вытяжке  $\sigma_{rr} = \sigma$  равны осредненным по толщине заготовки напряжениям при разделении материала вдоль оси  $x$  в начале очага деформации при  $x=0$ :

$$\frac{1}{s} \int_0^s (\sigma) \Big|_{x=0} dz = \sigma_{rr}. \quad (29)$$

С учетом (28) после интегрирования (29) получим

$$\sigma' = \sigma_{rr} + \frac{\sqrt{3}}{3} \sigma_s \left[ \frac{4}{\sqrt{1-\varphi_1}} \arctg \sqrt{1-\varphi_1} - 3 - \frac{\varphi_1}{2-\varphi_1} \right]. \quad (30)$$

Поле напряжений в очаге деформации при разделительных процессах из (20) с учетом (8) можно представить в виде

$$\sigma_x = \sigma + \frac{4\sigma_s x(s-z)}{\sqrt{3}\Phi}, \quad \sigma_z = \sigma - \frac{4\sigma_s x(s-z)}{\sqrt{3}\Phi}, \quad \sigma_y = \sigma. \quad (31)$$

При высоких скоростях нагружения в уравнениях движения (21) следует учесть инерционные силы, вызывающие дополнительные напряжения, связь которых со скоростями, ускорениями и скоростями деформаций определяется из уравнений движения

$$\begin{aligned} \frac{\partial \sigma_{x\text{доп}}}{\partial x} &= \rho_0 \left( \frac{\partial v_x}{\partial t} + v_x \frac{\partial v_x}{\partial x} + v_z \frac{\partial v_x}{\partial z} \right), \\ \frac{\partial \sigma_{z\text{доп}}}{\partial z} &= \rho_0 \left( \frac{\partial v_z}{\partial t} + v_z \frac{\partial v_z}{\partial z} + v_x \frac{\partial v_z}{\partial x} \right). \end{aligned} \quad (32)$$

Здесь скорости частиц абсолютные, т.е. необходимо учитывать и перемещение самого очага деформации, скорость которого вдоль оси  $z$  равна скорости заготовки у режущей кромки, а вдоль оси  $x$  определяется из условия, что абсолютная скорость характерной точки ( $x = \Delta l$ ,  $z = s$ ) в этом направлении равна нулю. Тогда поле скоростей абсолютного движения частиц в очаге деформации с учетом (4), (7) будет иметь вид

$$\begin{aligned} v_x &= v_{\text{од}} \frac{(1-\varphi_1)(s-z)x^2}{s^2 \Delta l}, \\ v_z &= v_{\text{од}} - v_{\text{од}} \left[ \varphi_1 + \frac{(1-\varphi_1)(2sz-z^2)x}{s^2} \right] \frac{x}{\Delta l}. \end{aligned} \quad (33)$$

После подстановок и интегрирования каждое из выражений для  $\sigma_{x\text{доп}}$  и  $\sigma_{z\text{доп}}$  можно представить в виде конвективной и локальной составляющей:

$$\sigma_{\text{доп}} = \sigma_{\text{л}} + \sigma_{\text{к}}. \quad (34)$$

Конвективная составляющая обусловлена различием скоростей соседних точек деформируемого тела, а локальная – нестационарностью поля скоростей во времени в данной точке. Выделяя эти составляющие из обоих уравнений, в сумме получим

$$\sigma_{\text{л}} = \rho_0 \frac{\partial v_{\text{од}}}{\partial t} \frac{(1-\varphi_1)}{s^2 \Delta l} \left[ \frac{(s-z)x^3}{3} + \frac{s^2 \Delta l z}{1-\varphi_1} - \frac{\varphi_1 s^2 x z}{1-\varphi_1} - \left( sz^2 - \frac{z^3}{3} \right) x \right], \quad (35)$$

$$\sigma_k = \rho_0 \frac{v_{\text{од}}^2 (1 - \varphi_1)}{s^4 \Delta l} \left\{ (1 - \varphi_1) \left[ \frac{x^4 s^2}{4} + \frac{x^4 (s - z)^2}{4} + \frac{x^2 z^2}{4} (2s - z)^2 \right] + \varphi_1 s^2 x^2 \left( sz - \frac{z^2}{2} + \frac{x^2}{4} \right) + s^2 \Delta l x \left( z^2 - 2sz - \frac{x^2}{3} \right) \right\}. \quad (36)$$

Эти составляющие могут не учитываться во многих случаях, когда  $v_{\text{од}} \leq 200 \text{ м/с}$  и  $\partial v_{\text{од}} / \partial t \leq 3,5 \cdot 10^6 \text{ м/с}^2$ , что часто имеет место при деформировании с использованием минимально необходимой для процесса энергии.

### СПИСОК ЛИТЕРАТУРЫ

1. **Кононенко В.Г., Ананян В.А.** Экспериментальные исследования к анализу процессов вырубki-пробивки тонколистовой заготовки импульсным магнитным полем, сконцентрированным по контуру вырубki // Самолетостроение. Техника воздушного флота. - Харьков, 1980.- Вып. 477.- С. 112-118.
2. **Алексеев Ю.Н.** Вопросы пластического течения металла.- Харьков: ХГУ, 1958. – 111 с.
3. **Попов Е.А., Бочаров Ю.А., Поляк С.М.** и др. Деформирование металлов импульсным магнитным полем // Кузнечно-штамповочное производство. – 1966. - №6. - С. 2-9.
4. **Ильюшин А.А.** Вопросы теории течения пластического вещества по поверхностям // ПММ. – 1954. - Т. XVIII, вып. 3.

АрмСХА. Материал поступил в редакцию 15.05.2001.

#### Վ.Ա. ԱՆԱՆՅԱՆ

ԼԱՐՎԱԾԱ-ԴԵՖՈՐՄԱՑԻՈՆ ՎԻՃԱԿԸ ԴԵՖՈՐՄԱՑԻԱՅԻ ՏԵՂԱՅՆԱՑՎԱԾ ՕՋԱԽՈՒՄ  
ԲԱՐԱԿ ԹԻԹԵՂՅԱ ՊԱՏՐԱՍՏՈՒԿԻ  
ՄԱԳՆԻՍՏԱԻՄՊՈՒԼՍԱՑԻՆ ՀՍՏԱՆ ԴԵՊՔՈՒՄ

Պլաստիկ հոսունության տեսության հիման վրա ստացված են լարվածա-դեֆորմացիոն վիճակի հավասարումները բարակ թիթեղյա հատվածքի եզրաշերտի տեղայնացված օջախում մագնիսա-իմպուլսային հատման և ծակոտման դեպքում բարակ թիթեղյա պատրաստուկի՝ մատրիցի վրա նետումով:

#### V.A. ANANYAN

### THE STRESS-STRAIN STATE IN THE LOCALIZED CENTER OF DEFORMATION UNDER MAGNETO-IMPULSE CUTTING OF THIN-STEEL BAR

Based on plastic flow theory, equations and design formulas of stress-strain state in the localized center deformation on the cutting edge under magneto-impulse cutting and punching by throwing thin-sheet bars on the matrix are derived.